

**A.B. Цуркан<sup>a</sup>, О.О. Васильєва<sup>a</sup>, А.А. Кітик<sup>a</sup>, С.А. Корній<sup>b</sup>, В.С. Проценко<sup>a</sup>, Ф.Й. Данилов<sup>a</sup>**

## **ЕЛЕКТРОХІМІЧНИЙ СИНТЕЗ ТА ВЛАСТИВОСТІ КОМПОЗИЦІЙНИХ ПОКРИТТІВ Fe/TiO<sub>2</sub>, МОДИФІКОВАНИХ ДІОКСИДОМ ЦЕРІЮ**

<sup>a</sup> ДВНЗ «Український державний хіміко-технологічний університет», м. Дніпро

<sup>b</sup> Фізико-механічний інститут ім. Г.В. Карпенка НАН України, м. Львів

У роботі показана можливість електрохімічного синтезу тонких захисних шарів діоксиду церію на поверхні композиційних покріттів Fe/TiO<sub>2</sub> з використанням метансульфонатних розчинів. Показано, що з електролітів на основі метансульфонату церію(ІІ) при катодних густинах струму до 0,3 А/дм<sup>2</sup> осаджуються тонкі оксидно-церієві шари з доброю адгезією до основи. Присутність церію на поверхні композитів доведена методом енергодисперсійної рентгенівської спектроскопії (EDS). Модифікація поверхні залізної матриці композиту шляхом нанесення тонкого покриття CeO<sub>2</sub> приводить до суттевого підвищення корозійної стійкості, що відкриває можливість використовувати такі композиційні осади як фотокatalізаторів при руйнуванні органічних сполук у забруднених стічних водах. Встановлена фотокatalітична активність розроблених композиційних покріттів Fe/TiO<sub>2</sub>, на поверхню яких нанесений шар CeO<sub>2</sub>, у модельній реакції фотохімічної деструкції барвника метилового оранжевого під дією ультрафіолетового випромінювання.

**Ключові слова:** композиційні гальванопокріття, залізо, діоксид титану, діоксид церію, фотокatalіз.

### **Вступ**

Раніше показано, що електроосаджене композиційне покріття Fe/TiO<sub>2</sub> проявляє помітну фотокatalітичну активність стосовно модельної реакції деструкції барвника метилового оранжевого (МО) у водному розчині під дією УФ-випромінювання [1]. Втім, залізна матриця у водному середовищі легко піддається корозії. Саме тому експериментальні дослідження фотокatalітичного розкладання метилового оранжевого були здійснені нами у лужному середовищі (0,1 М NaOH) [1], що дозволяло ефективно запобігти корозійному руйнуванню заліза унаслідок його пасивації. Але такий склад модельного забрудненого електроліту суттєво відрізняється від реальних промислових стічних вод. Отже, для того, щоб використовувати запропоновані Fe/TiO<sub>2</sub> фотокatalізатори при очищенні водних розчинів від органічних забруднювачів, слід суттєво підвищити корозійну стійкість залізної матриці.

На наш погляд, перспективним шляхом для цього може бути електрохімічне нанесення на її поверхню захисного шару оксиду церію [2–4]. Передбачалось, що цей метод захисту істотно не впливатиме на каталітичну активність покріттів Fe/TiO<sub>2</sub>. Для одержання оксидно-церієвих шарів металеву поверхню (сталь тощо) підда-

ють катодному обробленню у розчині, що містить іони Ce(ІІІ). У результаті електровиділення водню та можливих інших катодних реакцій у приелектродному шарі відбувається генерування гідроксид-іонів, що приводить до гідролізу іонів церію, формування плівки його гідроксидних та оксидних сполук [4].

Метою даної роботи було встановлення можливості одержання захисної оксидно-церієвої плівки на поверхні гальванопокріттів Fe/TiO<sub>2</sub>, а також оцінювання корозійної стійкості та фотокatalітичних властивостей синтезованих композиційних катализаторів.

### **Методика експерименту**

Композиційні гальванопокріття Fe/TiO<sub>2</sub> одержували з метансульфонатних суспензійних електролітів за методикою, описаною раніше у [5, 6]. Електроліт містив 1,25 моль/дм<sup>3</sup> Fe(CH<sub>3</sub>SO<sub>3</sub>)<sub>2</sub>, концентрація нанопорошку TiO<sub>2</sub> Р 25 (Degussa, Evonik, Germany) складала 12 г/дм<sup>3</sup>, величина pH підтримувалася на рівні 1,3. У суспензійному електроліті діоксид титану присутній у вигляді агрегатів із середнім розміром частинок близько 1 мкм [1]. Для забезпечення рівномірного розподілу колоїдних частинок у суспензії застосовували безперервне перемішування за допомогою магнітної мішалки (~60 об./хв). Електроосадження композиційних покріттів здійс-

нювали у гальваностатичному режимі при густині струму  $10 \text{ A/dm}^2$  і температурі 298 К. Композиційні покриття товщиною приблизно 20 мкм осаджували на сталеву основу (Ст 3) площею 1 см<sup>2</sup>. Відповідно до даних, наведених у роботах [6,7], за описаних вище умов осаджуються покриття, що містять 5 мас.% TiO<sub>2</sub>.

Відомі спроби електрохімічного синтезу плівки оксиду церію із розчинів нітрату [2,3] або хлориду [4,8] церію(ІІІ). У цій роботі уперше застосовано метансульфонатні розчини, що відрізняються низкою технологічних, економічних та екологічних переваг [9,10]. Розчин метансульфонату церію(ІІІ) синтезували шляхом хімічної взаємодії розчину метансульфонової кислоти і порошку карбонату церію(ІІІ). Електроліт для катодного синтезу оксидно-церієвої плівки містив 0,5 моль/дм<sup>3</sup> Ce(CH<sub>3</sub>SO<sub>3</sub>)<sub>3</sub>, pH 1,3. Електроосадження здійснювали у гальваностатичному режимі при катодних густинах струму 0,025, 0,05 та 0,1 А/дм<sup>2</sup> і температурі 298 К. Допоміжним електродом слугувала платинова пластина. Після нанесення оксидно-церієвої плівки електрод ретельно промивали дистильованою водою та висушували у потоці гарячого повітря (~80°C) протягом 3 хв.

Зовнішній вигляд поверхні оцінювали за допомогою мікроскопа Supereyes B008 з вбудованою цифровою фотокамерою. Морфологію поверхні вивчали методом сканувальної електронної мікроскопії (EVO 40XVP), аналіз хімічного складу поверхні виконували методом енергодисперсійної рентгенівської спектроскопії (EDS).

Корозійні випробування здійснювали у водному розчині 3%-ного NaCl за умов природної аерації. Поляризаційні вимірювання проводили за допомогою потенціостата Potentiostat/Galvanostat Reference 3000 (Gamry). Допоміжний електрод – Pt пластина. У скляній триелектродній комірці об’ємом 50 см<sup>3</sup> електродні простори були розділені скляною пористою діафрагмою. Потенціали вимірювали відносно насиченого хлорсрібного електрода та перераховували у шкалу стандартного водневого електрода.

Фотокatalітичні властивості композиційних каталізаторів оцінювали за їх впливом на кінетику реакції розкладу барвника метилового оранжевого під дією ультрафіолетового випромінювання. Джерелом випромінювання слугувала УФ лампа ДКБ 9 з ефективним спектральним діапазоном 180–275 нм. Лампу розташовували над розчином MO на відстані 10 см від поверхні. Кatalізатори з електрохімічно нанесеним покриттям (3 см<sup>2</sup>) розміщували на глибині 2 мм у розчині під кутом 90° до потоку УФ-випромінювання. Розчин MO (20 см<sup>3</sup>) у ході фотокatalітичної деструкції барвника безперер-

вно переміщували магнітною мішалкою. Концентрацію MO визначали фотоколориметричним методом за допомогою спектрофотометра КФК-2-УХЛ 4.2 (світлофільтр 490 нм).

### **Результати й обговорення**

#### **Електрохімічний синтез оксидно-церієвих плівок**

При катодній гальваностатичній поляризації електрода з композиційним покриттям Fe/TiO<sub>2</sub> у метансульфонатному електроліті протягом приблизно перших 30–50 с після ввімкнення електричного струму спостерігається зсув потенціалу у бік негативних величин (рис. 1, крива 1), що може бути пов’язано із зміною концентрації компонентів у приелектродному шарі та формуванням стаціонарного дифузійного шару. Далі значення потенціалу стабілізується.

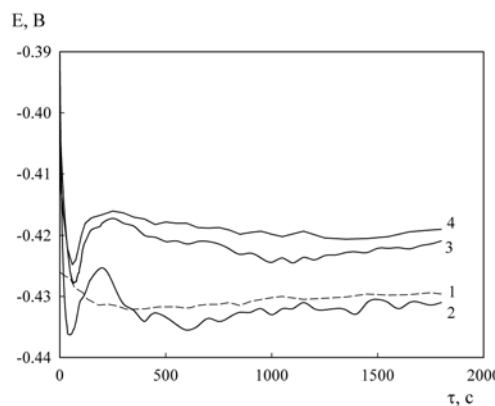


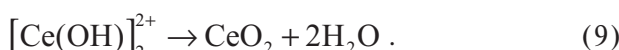
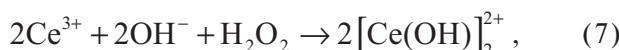
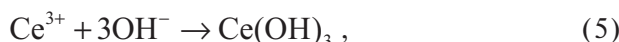
Рис. 1. Хронопотенціограми процесу катодного оброблення композиційного гальванопокриття Fe/TiO<sub>2</sub> (5%) у метансульфонатних розчинах (1) за відсутності іонів Ce(ІІІ), (2, 3, 4) що містять 0,5 М Ce(ІІІ) при густині струму: (1, 2) 0,1 А/дм<sup>2</sup>, (3) 0,05 А/дм<sup>2</sup>, (4) 0,025 А/дм<sup>2</sup>. pH 1,3, T=298 K

Очевидно, що такий характер хронопотенціограм пов’язаний з перебігом процесів електрориділення водню та електровідновлення молекулярного кисню, розчиненого в електроліті:



Вигляд хронопотенціограм змінюється при введенні у метансульфонатний електроліт іонів церію(ІІІ) (див. рис. 1, криві 2–4). На початковому етапі (приблизно 50 с) спостерігається зсув потенціалу у бік негативних величин. Далі, на

інтервалі часу ~100–200 с після початку електролізу, відбувається зростання потенціалу. Цей ефект можна пояснити на підставі літературних даних [2,3], згідно з якими унаслідок локально-го зростання pH у приелектродному шарі за рахунок протікання реакцій (1)–(4), на поверхні електрода відбуваються процеси гідрокоутворення та подальшого окислення іонів церію(ІІІ) з утворенням плівки діоксиду церію:



Нарешті, приблизно через 400 с після ввімкнення струму досягається квазістационарний стан. З отриманих даних видно (рис. 1, криві 2–4), що при підвищенні катодної густини струму спостерігається очевидне зростання катодної поляризації.

Цікаво, що при катодній модифікації поверхні сталі у нітратних розчинах [3] також спостерігається помітне збільшення катодної поляризації у початкові моменти електролізу, але без чітко вираженого піка, як у метансульфонатних електролітах. Втім, стабілізація величини катодного потенціалу у нітратних розчинах також досягається приблизно через 300–400 с після початку електролізу [3], що узгоджується з даними, отриманими нами для метансульфонатних розчинів.

Зміна стану поверхні композиційного електрода після його катодної модифікації у метансульфонатному електроліті легко спостерігається візуально і на фотографічних зображеннях (рис. 2). Якщо до такого електрохімічного оброблення композиційні покріття мають вигляд світло-сірих рівномірних осадів, то після утворення плівки оксиду церію поверхня змінює свій колір на сірувато-синій з відблиском, що нагадує кольори мінливості на окисненій сталевій поверхні<sup>1</sup>.

При катодному обробленні у розчинах, що містить метансульфонат церію(ІІІ) при густині струму ~0,3 А/дм<sup>2</sup> та вище утворюються крихкі об'ємні шари оксиду церію світло-жовтого кольору, які осипаються з поверхні електрода. Тому для формування компактних, зіплених з основою захисних шарів діоксиду церію катодна густина струму не повинна перевищу-

вати 0,3 А/дм<sup>2</sup>. Аналогічні результати були отримані і для нітратних електролітів у дослідженні [3].

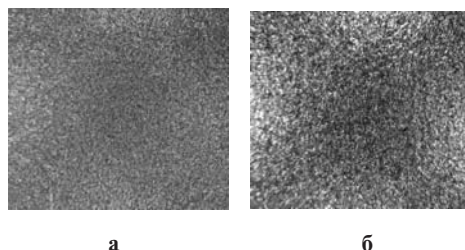


Рис. 2. Фотографічні зображення композиційних покріттів Fe/TiO<sub>2</sub> (5%): (а) без поверхневої модифікації; (б) після катодної модифікації у розчині, що містить 0,5 моль/дм<sup>3</sup> Ce(CH<sub>3</sub>SO<sub>3</sub>)<sub>3</sub>. Тривалість катодного оброблення 1800 с, катодна густина струму 0,1 А/дм<sup>2</sup>. Збільшення зображення ×10

Хімічні реакції (5)–(9) напевне протікають на електродній поверхні не тільки протягом перших кількох десятків секунд після початку електролізу, коли на хронопотенціограмі формується мінімум, але і продовжують проходити на електроді після стабілізації потенціалу. Відтворювані результати при формуванні захисних плівок вдається досягти при тривалості оброблення не менше 600 с. Подальше збільшення часу електролізу не впливає на характеристики отримуваних оксидно-церієвих шарів.

Слід зазначити, що деякі з вказаних хімічних процесів можуть відбуватись у приелектродному шарі не тільки під час електролізу, але й після вимкнення струму і подальшого висушування покриття у потоці гарячого повітря (реакції (8), (9)).

Спроби оцінити товщину синтезованої оксидно-церієвої плівки на поверхні композиту залізо-діоксид титану за допомогою гравіметричного методу показали, що аналітичні ваги ВЛР-200 не фіксують ані доважку, ані зменшення маси електрода у порівнянні з масою до катодного оброблення у розчині метансульфонату церію(ІІІ) навіть при тривалості електролізу 1800 с. Це означає, що товщина плівки діоксиду церію на поверхні є надзвичайно малою і не перевищує ~65 нм.

Присутність оксиду церію на поверхні композитів, оброблених у розчині метансульфонату церію(ІІІ), була доведена методом енергодисперсійної рентгенівської спектроскопії (рис. 3, табл. 1). Як видно, хімічний склад поверхні покріттів включає такі елементи: ферум, титан, окисиген і церій. Варіювання густини струму (0,025 і 0,1 А/дм<sup>2</sup>) згідно з даними EDS, практично не впливає на хімічний склад поверхні.

<sup>1</sup> Для ознайомлення з повнокольоровим варіантом рис. 2 читачу слід звернутися до on-line версії статті.

Таблиця 1

Результати EDS композиційного покриття  $\text{Fe}/\text{TiO}_2$  модифікованого плівкою діоксиду церію

Елемент	Вміст, мас.%
Fe	87,38
Ti	2,19
O	7,04
Ce	3,39

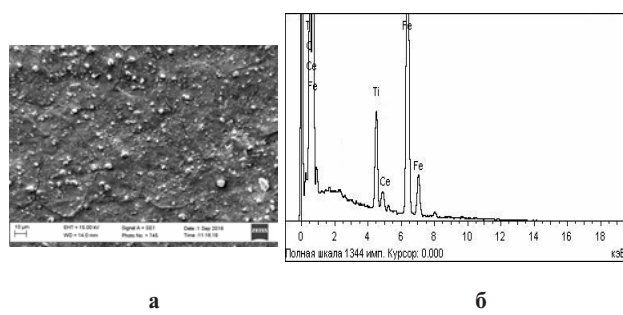


Рис. 3 СЕМ зображення (А) та EDS спектри (Б) композиційного покриття  $\text{Fe}/\text{TiO}_2$  після катодної модифікації у розчині, що містить 0,5 моль/дм<sup>3</sup>  $\text{Ce}(\text{CH}_3\text{SO}_3)_3$ . Тривалість катодного оброблення 1800 с, катодна густина струму 0,1 А/дм<sup>2</sup>

#### Корозійна стійкість композиційних покриттів

Для прискореного оцінювання впливу катодної модифікації поверхні композиційних гальванопокріttів залізо/діоксид титану плівкою діоксида церію були проведені корозійні випробування зразків у агресивному середовищі 3% NaCl при кімнатній температурі. Було показано, що при експозиції у вказаному агресивному середовищі тривалістю 1 годину частка поверхні, вкритої осередками корозійного руйнування («червона корозія»), складає ~90% та ~10% для зразків  $\text{Fe}/\text{TiO}_2$  та  $\text{Fe}/\text{TiO}_2$ , вкритих плівкою  $\text{CeO}_2$ , відповідно. Стационарний корозійний потенціал протягом експозиції зразків у агресивному середовищі 3% розчину NaCl зсувається у бік негативних значень і через 800–1000 с досягає стационарного значення (рис. 4). При цьому корозійний потенціал модифікованих композиційних покріttів приблизно на 100 мВ більший, ніж потенціал «чистого» залізного покриття, та приблизно на 70–80 мВ більший, ніж потенціал необробленого композиційного  $\text{Fe}/\text{TiO}_2$  покриття. Все це вказує на підвищення корозійної стійкості у результаті нанесення тонкого шару плівки  $\text{CeO}_2$  на поверхню композиційного осаду.

Для з'ясування причин зафікованого підвищення корозійної стійкості у нейтральному середовищі були отримані вольтамперограми, що характеризують електрохімічну поведінку досліджуваних покріttів у середовищі 3% NaCl

(рис. 5). Як видно, хвиля анодного струму, що відповідає анодному розчиненню заліза, зсувається у бік позитивних потенціалів при переході від «чистого» залізного покриття (крива 1) до композиту (крива 2). Це означає, що композиційне покриття має більш високу корозійну стійкість у порівнянні з металевою матрицею, що пов'язано, напевне, з частковим блокуванням поверхні металу колоїдними частинками  $\text{TiO}_2$ .

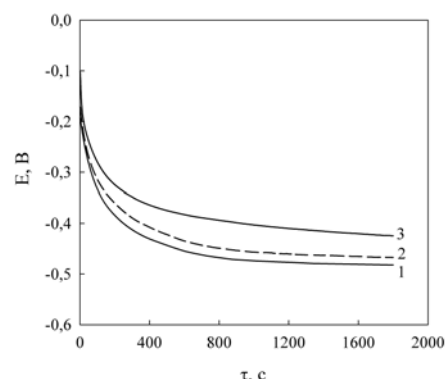


Рис. 4. Зміна стаціонарного корозійного потенціалу протягом експозиції гальванопокріttів у агресивному середовищі 3% NaCl. (1) – Fe гальванопокріttя, (2)  $\text{Fe}/\text{TiO}_2$  (5%) гальванопокріttя, (3)  $\text{Fe}/\text{TiO}_2$  (5%) гальванопокріttя після катодної модифікації у розчині, що містить 0,5 моль/дм<sup>3</sup>  $\text{Ce}(\text{CH}_3\text{SO}_3)_3$ . Тривалість катодного оброблення 1800 с, катодна густина струму 0,1 А/дм<sup>2</sup>

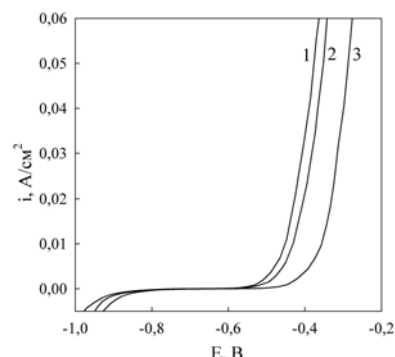


Рис. 5. Вольтамперограми покріttів у середовищі 3% NaCl. Швидкість розгортання потенціалу 5 мВ/с, температура 298 К. (1) Fe гальванопокріttя, (2)  $\text{Fe}/\text{TiO}_2$  (5%) гальванопокріttя, (3)  $\text{Fe}/\text{TiO}_2$  (5%) гальванопокріttя після катодної модифікації у розчині, що містить 0,5 моль/дм<sup>3</sup>  $\text{Ce}(\text{CH}_3\text{SO}_3)_3$ . Тривалість катодного оброблення 1800 с, катодна густина струму 0,1 А/дм<sup>2</sup>

Нанесення на покріttя  $\text{Fe}/\text{TiO}_2$  плівки діоксида церію приводить до помітного зростання анодної поляризації розчинення заліза (рис. 5, крива 3). Вольтамперограми були отримані при невеликій швидкості розгортки потенціалу (5 мВ/с), тому їх можна розглядати як ква-

зістационарні і обробляти у напівлогарифмічних координатах рівняння Тафеля, що дозволяє обчислити тафелевські нахили та струми корозії (табл. 2).

Таблиця 2  
Параметри анодного розчинення покріттів у 3% NaCl  
(температура 298 К)

Покриття	b <sub>a</sub> , В	E <sub>cor</sub> , В	i <sub>cor</sub> , мА/см <sup>2</sup>
Fe	0,071	-0,455	10,47
Fe/TiO <sub>2</sub>	0,075	-0,435	10,09
Fe/TiO <sub>2</sub> модифіков. CeO <sub>2</sub>	0,075	-0,387	5,89

Примітка: b<sub>a</sub> – тафелевський нахил анодного розчинення заліза, E<sub>cor</sub> – корозійний потенціал, i<sub>cor</sub> – густина струму корозії.

Тафелевські нахили реакції анодного розчинення заліза практично не змінюються при співосадженні композиту та після модифікації поверхні шаром діоксиду церію. Це свідчить про уповільнене перенесення заряду при розчиненні заліза та про незмінність механізму анодної реакції. З отриманих даних видно, що катодна модифікація покріття, у результаті якої на його поверхні утворюється тонка плівка CeO<sub>2</sub>, майже удвічі знижує швидкість корозії. Такий висновок узгоджується з наведеними у літературі даними про високі захисні властивості тонких шарів оксидно-церієвого покріття на різноманітних типах сталі [12,13].

Варіювання густини струму катодної обробки композиційних покріттів у розчині метансульфонату церію(ІІІ) практично не впливає на характеристики їх корозійно-електрохімічної поведінки. Це добре узгоджується з наведеними вище даними про незалежність хімічного складу поверхні від густини струму.

#### Фотокatalітичні властивості композиційних покріттів

Фотокatalітичну активність гальванопокріттів Fe/TiO<sub>2</sub> оцінювали для модельної реакції розкладання барвника метилового оранжевого [1,5,14].

З отриманих даних випливає (рис. 6), що за відсутності УФ-випромінювання барвник MO самовільно не розкладається. Опромінювання розчину ультрафіолетовими променями призводить до фотолітичної деструкції барвника. У літературі зазначається, що кінцевими продуктами розкладу MO є CO<sub>2</sub>, SO<sub>4</sub><sup>2-</sup>, NO<sub>3</sub><sup>-</sup> та H<sub>2</sub>O [14]. Кінетична крива для процесу фотохімічної деструкції добре випрямляється у координатах «логарифм концентрації, час» (рис. 6), що свідчить про псевдоперший порядок реакції. Модифікація поверхні залізного осаду шляхом нанесення плівки діоксиду церію не надає поверхні фотокatalітичних властивостей (криві 2 і 3 на рис. 6 зливаються). Обчислена константа швидкості фотолізу становить 0,0011 хв<sup>-1</sup>.

У той же час, фотохімічне розкладання метилового оранжевого суттєво прискорюється за присутності каталізатора Fe/TiO<sub>2</sub>, модифікованого CeO<sub>2</sub> (крива 4 на рис. 6). Обчислена константа швидкості дорівнює 0,0018 хв<sup>-1</sup> і не залежить від густини струму електроосадження діоксидно-церієвого захисного шару.

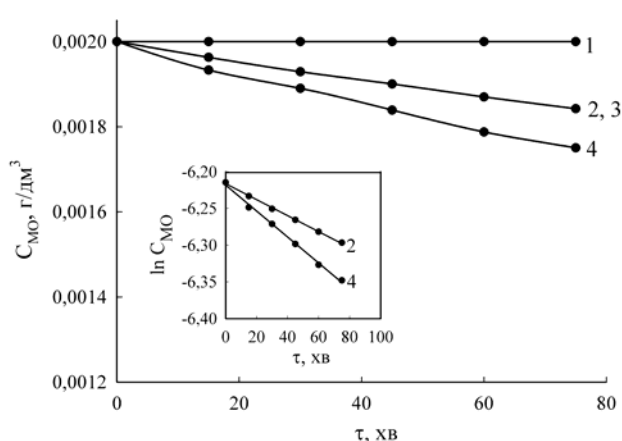


Рис. 6. Кінетичні криві розкладу метилового оранжевого:

- (1) без УФ-випромінювання;
- (2) під дією УФ-випромінювання без каталізатора;
- (3) під дією УФ-випромінювання в присутності Fe гальванопокріття, модифікованого плівкою CeO<sub>2</sub>;
- (4) під дією УФ-випромінювання в присутності Fe/TiO<sub>2</sub> (5%) гальванопокріття, модифікованого плівкою CeO<sub>2</sub>

У експериментах, де у ролі гетерогенного фотокatalізатора був використаний композит Fe/TiO<sub>2</sub> без модифікації діоксидом церію, показано, що для перших ~10–15 хв після початку фотодеструкції кінетична крива розкладання MO практично збігається з кривою 4 на рис. 6. Це означає, що діоксидно-церієва плівка не впливає на фотокatalітичну активність каталізатора. Однак, через ~15 хв після занурення композиту Fe/TiO<sub>2</sub> без захисної плівки у розчин MO спостерігається інтенсивне корозійне руйнування залізної матриці, що веде до накопичення продуктів корозії Fe у вигляді інтенсивно забарвленого гідрозолю Fe(OH)<sub>3</sub>, що викривлює результати вимірювання оптичної густини. Крім того, продукти корозії заліза швидко накопичуються у вигляді шару іржі на поверхні композиту, що, очевидно, перешкоджає його використанню як фотокatalізатора. При використанні фотокatalізатора з захисною діоксидно-церієвою плівкою утворення продуктів корозії не спостерігалось протягом щонайменше тижня експозиції у розчині, при цьому зберігалась висока фотокatalітична активність композита.

#### Висновки

Таким чином, у роботі вперше показана можливість нанесення тонких шарів оксидно-

церієвого покриття на поверхню композиційного гальванопокриття залізо-діоксиду титану з метансульфонатного електроліту, що містить іони церію(ІІІ). Катодна модифікація залізної матриці композиту дозволяє суттєво підвищити його корозійну стійкість, у результаті чого стає можливим використовувати ці матеріали як фотокatalізатори при очищенні водних розчинів від органічних забруднювачів. Фотокatalітична активність композиційних покриттів  $\text{Fe}/\text{TiO}_2$ , на поверхню яких електроосаджений тонкий шар діоксиду церію, доведена на прикладі модельної реакції фотохімічної деструкції барвника метилового оранжевого під дією УФ-випромінювання.

## СПИСОК ЛІТЕРАТУРИ

1. *Electrodeposition of composite  $\text{Fe}-\text{TiO}_2$  coatings from methanesulfonate electrolyte* / E.A. Vasil'eva, A.V. Tsurkan, V.S. Protsenko, F.I. Danilov // Protection of Metals and Physical Chemistry of Surfaces. – 2016. – Vol.52. – P.532-537.
2. *Cathodic electrodeposition of cerium-based oxides on carbon steel from concentrated cerium nitrate solutions. Part I. Electrochemical and analytical characterization* / Y. Hamlaoui, F. Pedraza, C. Remazeilles, S. Cohendoz, C. Rebere, L. Tifouti, J. Creus // Materials Chemistry and Physics. – 2009. – Vol.113. – P.650-657.
3. *Cathodic electrodeposition of cerium based oxides on carbon steel from concentrated cerium nitrate. Part II: Influence of electrodeposition parameters and of the addition of PEG* / Y. Hamlaoui, L. Tifouti, C. Remazeilles, F. Pedraza // Materials Chemistry and Physics. – 2010. – Vol.120. – P.172-180.
4. *Electrodeposition of cerium oxide films and composite* / L. Yang, X. Pang, G. Fox-Rabinovich, S. Veldhuis, I. Zhitomirsky // Surface and Coatings Technology. – 2011. – Vol.206. – P.1-7.
5. *Electrodeposition of iron/titania composite coatings from methanesulfonate electrolyte* / V.S. Protsenko, E.A. Vasil'eva, I.V. Smenova, F.I. Danilov // Russian Journal of Applied Chemistry. – 2014. – Vol.87. – P.283-288.
6. *Електроовідлення* водню і кисню на гальванічних покриттях Fe та  $\text{Fe}/\text{TiO}_2$ , одержаних із метансульфонатних розчинів / А.В. Цуркан, О.О. Васильєва, В.С. Проценко, Ф.Й. Данилов // Вопр. хими и хим. технологии. – 2015. – Т.5. – С.47-51.
7. *Electrocatalytic activity of composite  $\text{Fe}/\text{TiO}_2$  electro-deposits for hydrogen evolution reaction in alkaline solutions* / F.I. Danilov, A.V. Tsurkan, E.A. Vasil'eva, V.S. Protsenko // International Journal of Hydrogen Energy. – 2016. – Vol.41. – P.7363-7372.
8. *Synthesis and characterisation of thin cerium oxide coatings elaborated by cathodic electrolytic deposition on steel substrate* / J. Creus, F. Brezault, C. Rebere, M. Gadouleau // Surface and Coatings Technology. – 2006. – Vol.200. – P.4636-4645.
9. *Environmental benefits of methanesulfonic acid* / M.D. Gernon, M. Wu, T. Buszta, P. Janney // Green Chemistry. – 1999. – Vol.1. – № 6. – P.127-140.
10. *Walsh F.C., Ponce de Leyn C. Versatile electrochemical coatings and surface layers from aqueous methanesulfonic acid* // Surface and Coatings Technology. – 2014. – Vol.259. – P.676-697.
11. *Lide D.R. CRC Handbook of Chemistry and Physics* (84<sup>th</sup> Edition). CRC Press, 2003-2004.
12. *Protective effect in sulfuric acid media of alumina and ceria oxide layers electrodeposited on stainless steel* / D. Nickolova, E. Stoyanova, D. Stoychev, I. Avramova, P. Stefanov // Surface and Coatings Technology. – 2008. – Vol.202. – P.1876-1888.
13. *The self-healing ability of cerium oxide films on carbon steel* / Гігиенл О., Гудавінітл L., Селскіс А., Яслалітіенл V., Пакірзановас S., Раманаускас R. // Chemija. – 2015. – Vol.26. – № 3. – P.175-183.
14. *Sonawane R.S., Kale B.B., Dongare M.K. Preparation of photo-catalytic activity of  $\text{Fe}-\text{TiO}_2$  thin films prepared by sol-gel dip coatings* // Mater. Chem. Phys. – 2004. – Vol.85. – P.52-57.

Надійшла до редакції 10.10.2016

## ELECTROCHEMICAL SYNTHESIS AND PROPERTIES OF COMPOSITE COATINGS $\text{Fe}/\text{TiO}_2$ MODIFIED BY CERIUM DIOXIDE

*A.V. Tsurkan <sup>a</sup>, E.A. Vasil'eva <sup>a</sup>, A.A. Kityk <sup>a</sup>, S.A. Korniy <sup>b</sup>, V.S. Protsenko <sup>a</sup>, F.I. Danilov <sup>a</sup>*

<sup>a</sup> Ukrainian State University of Chemical Technology, Dnipro, Ukraine

<sup>b</sup> Karpenko Physico-Mechanical Institute of the NAS of Ukraine, Lviv, Ukraine

*The work shows that the electrochemical synthesis of thin protective layers of cerium dioxide on the surface of  $\text{Fe}/\text{TiO}_2$  composite coatings can be performed using methanesulfonate solutions. Thin layers of ceria with a good adhesion to the substrate are obtained at cathodic current density of less than  $0.3 \text{ A/dm}^2$  from electrolytes based on cerium (III) methanesulfonate. The presence of cerium on the composites surface was proved by means of energy dispersive X-ray spectroscopy (EDS). The modification of iron matrix of a composite by the electrodeposition of thin  $\text{CeO}_2$  film results in an essential improvement in corrosion resistance; this affords an opportunity to use such composite coatings as photocatalysts for the destruction of organic compounds in wastewater treatment. The photocatalytic activity of the developed  $\text{Fe}/\text{TiO}_2$  composite coatings with a surface  $\text{CeO}_2$  layer was shown in the reaction of photochemical destruction of methyl orange dye under the action of ultraviolet irradiation.*

**Keywords:** composite coatings; iron; titanium dioxide; cerium dioxide; photocatalysis.

## REFERENCES

1. Vasil'eva E.A., Tsurkan A.V., Protsenko V.S., Danilov F.I. Electrodeposition of composite  $\text{Fe}-\text{TiO}_2$  coatings from methanesulfonate electrolyte. *Protection of Metals and Physical Chemistry of Surfaces*, 2016, vol. 52, pp. 532-537.
2. Hamlaoui Y., Pedraza F., Remazeilles C., Cohendoz S., Rebere C., Tifouti L., Creus J. Cathodic electrodeposition of cerium-based oxides on carbon steel from concentrated cerium nitrate solutions. Part I. Electrochemical and analytical characterisation. *Materials Chemistry and Physics*, 2009, vol. 113, pp. 650-657.
3. Hamlaoui Y., Tifouti L., Remazeilles C., Pedraza F. Cathodic electrodeposition of cerium based oxides on carbon steel from concentrated cerium nitrate. Part II: Influence of elec-

## **Електрохімічний синтез та властивості композиційних покріттів Fe/TiO<sub>2</sub>, модифікованих діоксидом церію**

- trodeposition parameters and of the addition of PEG. *Materials Chemistry and Physics*, 2010, vol. 120, pp. 172-180.
4. Yang L., Pang X., Fox-Rabinovich G., Veldhuis S., Zhitomirsky I. Electrodeposition of cerium oxide films and composite. *Surface and Coatings Technology*, 2011, vol. 206, pp. 1-7.
5. Protsenko V.S., Vasil'eva E.A., Smenova I.V., Danilov F.I. Electrodeposition of iron/titania composite coatings from methanesulfonate electrolyte. *Russian Journal of Applied Chemistry*, 2014, vol. 87, pp. 283-288.
6. Tsurkan A.V., Vasil'eva E.A., Protsenko V.S., Danilov F.I. Elektrovidnovlennya vodnyu i kysnyu na gal'vanichnykh pokrytyakh Fe ta Fe/TiO<sub>2</sub>, oderzhanykh iz metansulfonatnykh rozchyniv [Hydrogen and oxygen evolution reactions on Fe and Fe/TiO<sub>2</sub> electrodeposits obtained from methanesulfonate solutions]. *Voprosy khimii i khimicheskoi tekhnologii*, 2015, vol. 5, pp. 47-51. (in Ukrainian).
7. Danilov F.I., Tsurkan A.V., Vasil'eva E.A., Protsenko V.S. Electrocatalytic activity of composite Fe/TiO<sub>2</sub> electrodeposits for hydrogen evolution reaction in alkaline solutions. *International Journal of Hydrogen Energy*, 2016, vol. 41, pp. 7363-7372.
8. Creus J., Brezault F., Rebere C., Gadouleau M. Synthesis and characterisation of thin cerium oxide coatings elaborated by cathodic electrolytic deposition on steel substrate. *Surface and Coatings Technology*, 2006, vol. 200, pp. 4636-4645.
9. Gernon M.D., Wu M., Buszta T., Janney P. Environmental benefits of methanesulfonic acid. *Green Chemistry*, 1999, vol. 1, pp. 127-140.
10. Walsh F.C., Ponce de Leyn C. Versatile electrochemical coatings and surface layers from aqueous methanesulfonic acid. *Surface and Coatings Technology*, 2014, vol. 259, pp. 676-697.
11. Lide D.R., *CRC Handbook of Chemistry and Physics* (84<sup>th</sup> Edition). CRC Press, 2003-2004.
12. Nickolova D., Stoyanova E., Stoychev D., Avramova I., Stefanov P. Protective effect in sulfuric acid media of alumina and ceria oxide layers electrodeposited on stainless steel. *Surface and Coatings Technology*, 2008, vol. 202, pp. 1876-1888.
13. Giruien O., Gudaviničiūtė L., Selskis A., Jasulaitienė V., Pakirzanovas S., Ramanauskas R. The self-healing ability of cerium oxide films on carbon steel. *Chemija*, 2015, vol. 26, no. 3, pp. 175-183.
14. Sonawane R.S., Kale B.B., Dongare M.K. Preparation of photo-catalytic activity of Fe-TiO<sub>2</sub> thin films prepared by sol-gel dip coatings. *Materials Chemistry and Physics*, 2004, vol. 85, pp. 52-57.